

华北陆块北部燕山地区中元古代辉绿岩 地球化学特征及成因意义

张运强 陈海燕 李先 魏文通 张振利 许洪才 刘增校 彭芊芊

(河北省区域地质矿产调查研究所, 河北 廊坊 065000)

提要: 华北陆块北部燕山地区广泛发育侵位于下马岭组的一套辉绿岩岩床。其岩石地球化学特征表明, 燕山地区辉绿岩以高 TiO_2 (1.70%~4.29%), 低 Al_2O_3 (11.33%~14.98%) 和低 MgO (4.17%~5.86%), 以及 $Na_2O > K_2O$ 为特征, 属大陆拉斑玄武岩系列。稀土元素特征显示, ΣREE 总量较高, LREE 明显富集, 轻重稀土分馏不明显; 配分曲线右倾, 无明显 Eu 异常。结合 $Zr-Y$ 、 $Zr-Nd$ 、 $Zr/Y-Zr$ 、 $Ti/100-Zr-Y \times 3$ 、 $Ta/Hf-Th/Hf$ 及 $Nb/Zr-Th/Zr$ 等图解综合分析认为: 该辉绿岩岩浆源自过渡性地幔, 形成于华北陆块北部中元古代晚期的板内伸展构造背景。

关 键 词: 辉绿岩; 地球化学; 中元古代; 华北陆块; 燕山地区

中图分类号:P584; P595 文献标志码:A 文章编号:1000-3657(2014)02-0351-10

华北陆块北部的燕辽坳拉槽内发育有全球范围内最为连续的中元古代地层剖面, 该剖面不仅是中国中元古代地层的标准剖面, 也是世界上罕见的晚前寒武纪完整地层剖面。近年来, 基于中新元古代地层中侵入体的一系列高精度锆石 U-Pb 定年数据^[1-5], 使华北陆块中新元古代几次关键热-构造事件得以深入探讨, 尤其是中元古代晚期侵入燕山地区下马岭组中的基性岩床(辉绿岩床), 引起了地学界的广泛关注。前人获取了该辉绿岩及下马岭组凝灰岩的锆石 U-Pb 年龄^[1-4], 缺少利用地球化学特征探究岩浆起源及构造背景方面的研究。本文拟通过主微量元素地球化学特征来探讨该基性岩床的岩浆起源及其构造背景, 以期对中元古代末—新元古代初华北陆块是否参与了 Columbia 超大陆裂解至 Rodinia 超大陆汇聚提供线索。

1 区域地质背景与样品描述

研究区位于华北陆块北部燕辽坳拉槽中段, 地理位置为河北省承德县大范杖子一带。区内广泛

出露中—新元古代长城系、蓟县系、青白口系, 岩性主要为一套厚度巨大的碎屑岩和海相富镁碳酸盐岩夹少量碱性玄武岩和粗安岩, 地层序列清楚且基本未受变质作用影响, 古生物化石丰富^[6-8]。古生界寒武系、奥陶系分布较为局限, 主要分布于宋营一带, 岩性主要为一套浅海-潮坪相的海相碳酸盐岩地层。中生界侏罗系南大岭组、下花园组、髫髻山组、九龙山组分布于研究区中部, 主要为一套成分复杂的陆相火山沉积地层。侵入岩主要有侵入下马岭组的辉绿岩(床)和侵入中生代地层的石英正长斑岩。

辉绿岩样品采自河北省承德县石灰窑乡大范杖子—东梁一带, 位于承德市东偏南 28 km(图 1), 地理坐标: N40°51'13", E118°19'20"。辉绿岩(床)顺层侵入下马岭组灰黑色页岩、粉砂质页岩, 共发育 3 层, 其产状和围岩完全一致, 界线平直, 厚度 15~100 m, 延伸 8 km 左右。李怀坤等^[4]曾获取该基性岩锆石 SHRIMP U-Pb 年龄为 (1320 ± 6) Ma, 陆松年等^[9]将其侵位年龄置于 $1320 \sim 1350$ Ma, 说明该基性

收稿日期: 2012-07-12; 改回日期: 2012-11-12

基金项目: 中国地质调查局地质大调查项目(1212011120750 和 1212011220486)资助。

作者简介: 张运强, 男, 1982 年生, 硕士, 主要从事区域地质矿产调查与研究工作; E-mail: zhyqok@163.com。

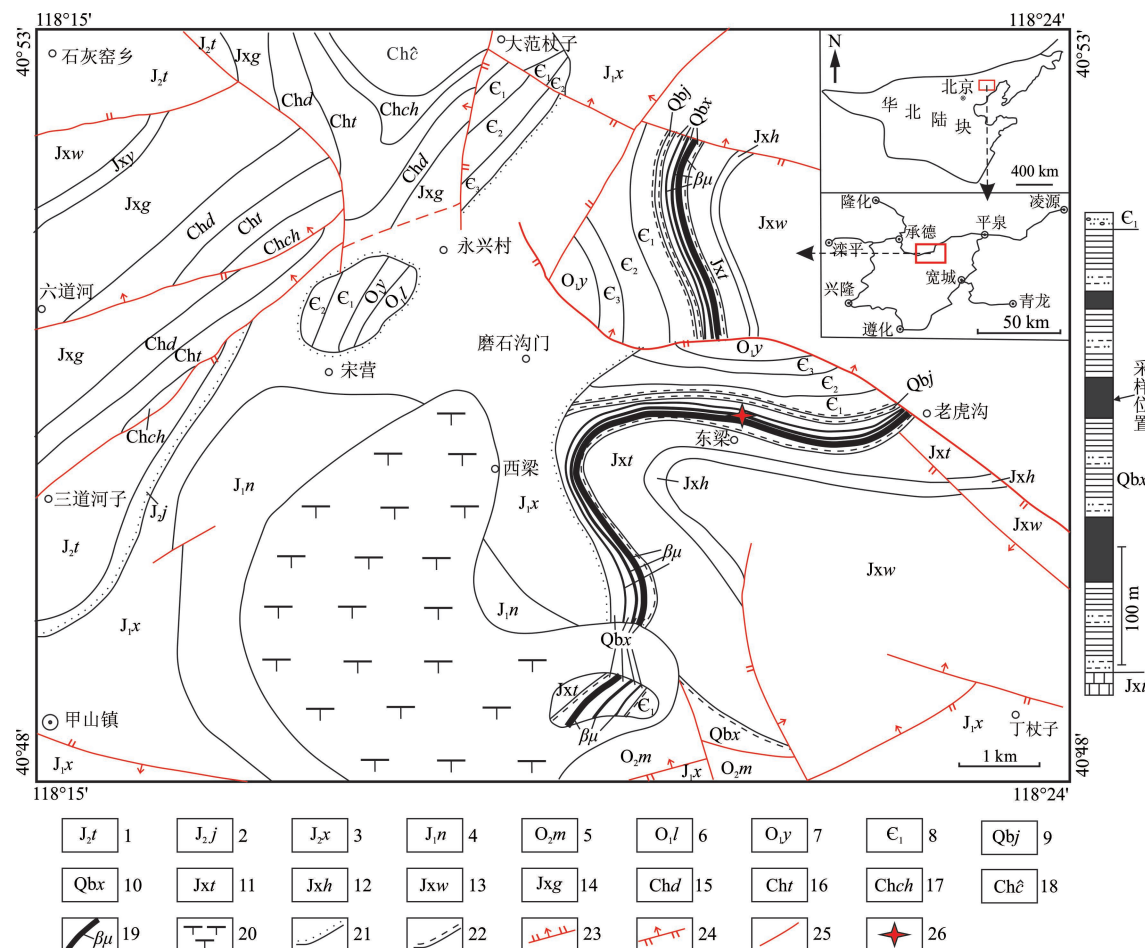


图1 燕山地区大范杖子一带地质略图(据1:20万平泉幅^①修编)

1—侏罗系髫髻山组;2—侏罗系九龙山组;3—侏罗系下花园组;4—侏罗系南大岭组;5—奥陶系马家沟组;
6—奥陶系亮甲山组;7—奥陶系治里组;8—寒武系(含C₁、C₂、C₃);9—青白口系景儿峪组;10—青白口系下马岭组;
11—蓟县系铁岭组;12—蓟县系洪水庄组;13—蓟县系雾迷山组;14—蓟县系高于庄组;15—长城系大红峪组;
16—长城系团山子组;17—长城系串岭沟组;18—长城系常州沟组;19—辉绿(玢)岩;20—石英正长斑岩;
21—角度不整合界线;22—平行不整合界线;23—正断层;24—逆断层;25—性质不明断层;26—取样位置

Fig.1 Geological sketch map of diabase in Dafanzhangzi, Yanshan Mountain area(modified after reference ①)
 1–Jurassic Tiaojishan Formation; 2–Jurassic Jiulongshan Formation; 3–Jurassic Xiahuayuan Formation; 4–Jurassic Nandaling Formation;
 5–Ordovician Majiagou Formation; 6–Ordovician Liangjiashan Formation; 7–Ordovician Yeli Formation;
 8–Cambrian; 9–Qingbaikouan Jingeryu Formation; 10–Qingbaikouan Xiamaling Formation; 11–Jixianian Tieling Formation;
 12–Jixianian Hongshuizhuang Formation; 13–Jixianian Wumishan Formation; 14–Jixianian Gaoyuzhuang Formation;
 15–Changchengian Dahongyu Formation; 16–Changchengian Tuanshanzi Formation; 17–Changchengian Chuanlinggou Formation;
 18–Changchengian Changzhougou Formation; 19–Diabase; 20–Quartz orthophyre; 21–Angular unconformity;
 22–parallel unconformity; 23–Normal fault; 24–Reverse fault; 25–Undefined fault; 26–Sampling location

岩形成时代为中元古代晚期。

辉绿岩(床)表面风化强烈,球形风化较发育(图2-a),呈酱黄色,新鲜面为黑色或黑绿色,岩性主要为辉绿(玢)岩,辉绿结构,斑状结构,块状构造。矿物成分为钛普通辉石、斜长石和少量钾长石、石英,副矿物有磷灰石、钛磁铁矿。主要矿物

粒径一般0.5~1.5 mm, 斜长石An=50~55为拉长石, 半自形板状-板条状, 具绢云母化、绿帘石化、皂化等。辉石, 半自形-他形柱粒状, 具次闪石化、绿泥石化等, 他形粒状辉石充填于斜长石板条状晶粒构成的三角形格架空隙中, 构成辉绿结构(图2-b, 2-c)。

^①河北省地矿局. 区域地调查报告(1:20万平泉幅). 1976.

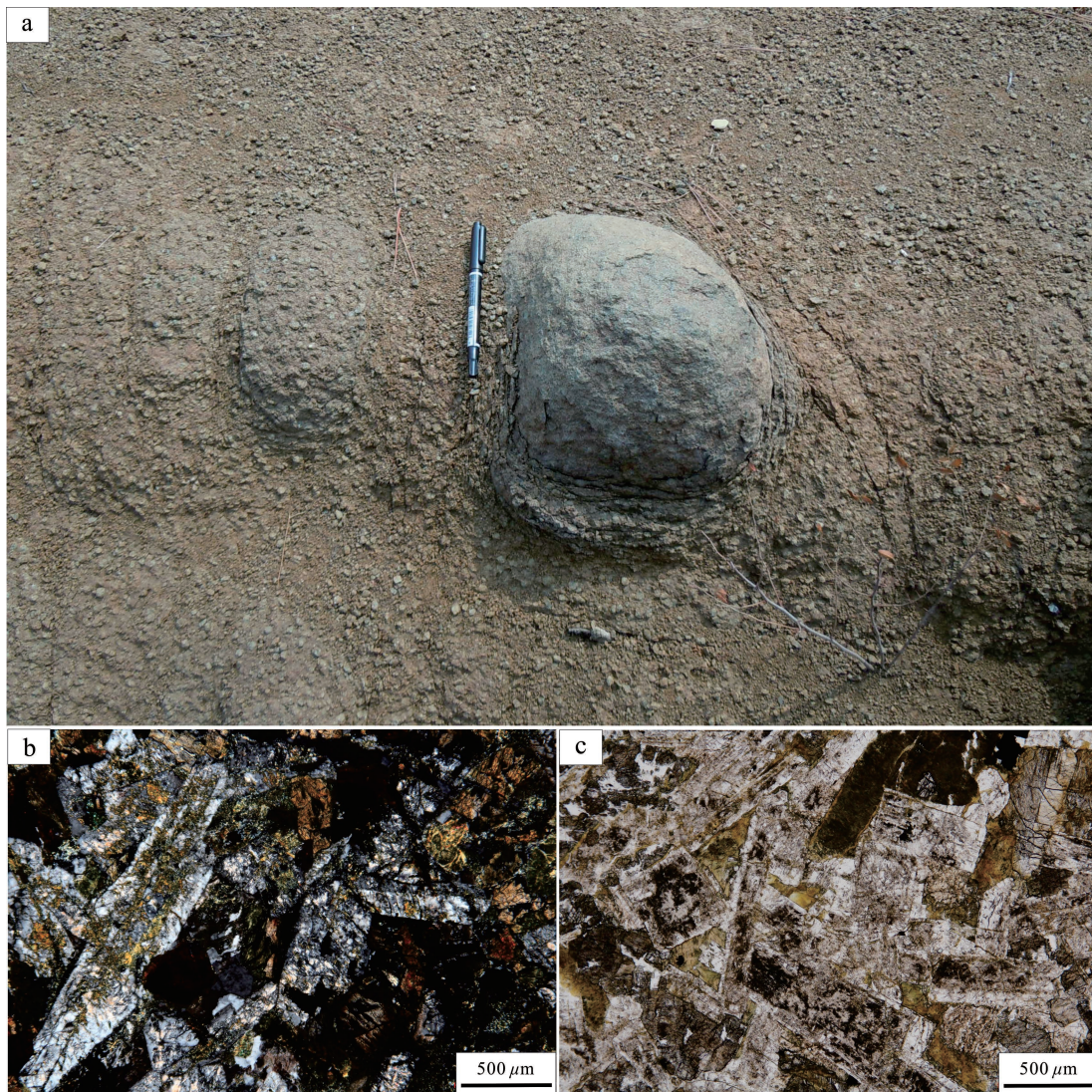


图2 下马岭组辉绿岩野外特征(a)及薄片显微特征(b,c)
Fig.2 Diabase of the Xiamaling Formation(a) and its features in thin section(b, c)

5件辉绿岩样品主微量元素分析在河北省地矿局廊坊实验室完成。主量元素采用XRF法在荷兰帕纳科公司研制的 Axios X射线荧光光谱仪上测定,分析精度一般优于2%,稀土和微量元素采用美国赛默飞世尔科技公司(Thermo Fisher Scientific)研制的X Series II型等离子体光质谱仪(ICP-MS)测定,并以GSD9标准样做分析样品元素浓度的校正标准,分析精度一般优于1%~5%。

2 分析结果

2.1 主量元素特征

研究区5件辉绿岩样品地球化学组成分析结果(表1)表明, SiO_2 含量变化在43.89%~48.56%,平均

为47.34%; Al_2O_3 含量较低,变化在11.33%~14.98%,平均13.17%; MgO 含量较低,变化在4.17%~5.86%,平均5.07%; $\text{Na}_2\text{O}+\text{K}_2\text{O}$ 含量范围为2.28%~4.87%,平均3.82%,且 $\text{Na}_2\text{O}>\text{K}_2\text{O}$; TiO_2 含量较高,变化于1.70%~4.29%,平均2.71%,明显区别于岛弧钙碱性玄武岩(0.98%),相近于板内拉斑玄武岩(2.23%)^[10]。综上,大范杖子辉绿岩总体以低 Al_2O_3 、 MgO ,高 TiO_2 为特征,与板内拉斑玄武岩相似。

$\text{SiO}_2-(\text{Na}_2\text{O}+\text{K}_2\text{O})(\text{TAS})$ 图解^[11]显示,辉绿岩样品点全部落入玄武岩范围内。 $\text{Nb}/\text{Y}-\text{Zr}/\text{TiO}_2$ 图解^[12]中,辉绿岩投点于拉斑玄武岩区(图3~4)。 $\text{K}_2\text{O}-\text{TiO}_2-\text{P}_2\text{O}_5$ 图解^[13~14](KTP三角图)上除DL-5样品外均投点于大陆拉斑玄武岩区(Ⅱ'区)(图5),表明燕

表1 燕山地区大范杖子辉绿岩主量(%)和微量元素(10^{-6})组成

Table 1 Analytical results for Mesoproterozoic diabase in Dafanzhangzi of Yanshan Mountain area

分析项目	DL-1	DL-2	DL-3	DL-4	DL-5
SiO ₂	47.60	48.56	48.22	48.41	43.89
Al ₂ O ₃	11.33	14.98	14.70	12.95	11.89
TiO ₂	3.71	1.93	1.70	1.94	4.29
Fe ₂ O ₃	11.99	6.68	5.18	4.17	12.52
FeO	5.34	6.06	7.09	11.11	7.42
CaO	7.27	6.90	9.30	8.44	9.33
MgO	4.17	5.12	5.86	5.63	4.57
K ₂ O	1.69	1.71	1.20	1.07	0.36
Na ₂ O	2.68	3.16	2.93	2.39	1.92
MnO	0.18	0.18	0.18	0.21	0.24
P ₂ O ₅	0.22	0.17	0.14	0.20	0.14
H ₂ O ⁺	3.44	4.05	3.16	3.20	2.91
H ₂ O	1.57	1.74	1.10	0.62	1.62
烧失量	3.69	4.42	3.40	3.26	3.22
总量	99.89	99.87	99.89	99.77	99.79
Y	40.45	25.92	25.94	39.86	32.08
La	18.87	14.77	12.58	22.10	13.70
Ce	43.14	33.00	28.34	44.23	29.12
Pr	6.53	4.92	4.31	6.97	4.34
Nd	26.73	19.30	17.66	30.06	19.35
Sm	7.03	4.86	4.73	7.27	4.86
Eu	2.42	1.69	1.63	2.26	1.90
Gd	6.25	4.26	4.19	6.09	4.91
Tb	1.33	0.88	0.90	1.36	0.95
Dy	7.90	5.16	5.37	8.21	6.36
Ho	1.63	1.04	1.10	1.63	1.25
Er	4.47	2.79	2.97	4.66	3.58
Tm	0.76	0.49	0.51	0.76	0.59
Yb	4.66	2.93	3.11	4.70	3.81
Lu	0.80	0.51	0.52	0.76	0.61
Σ REE	132.52	96.6	87.92	141.06	95.33
Σ LREE	104.72	78.54	69.25	112.89	73.27
Σ HREE	27.8	18.06	18.67	28.17	22.06
Σ L/ Σ H	3.7669	4.3488	3.7092	4.0075	3.3214
δ Eu	1.0928	1.1101	1.0956	1.0101	1.1771
δ Ce	0.9503	0.9451	0.9407	0.8675	0.9195
(La/Yb) _N	2.905	3.616	2.902	3.373	2.579
Rb	62.90	62.90	45.80	38.12	11.20
Sr	179.00	360.00	288.00	186.10	182.30
Ba	457.00	533.00	234.00	298.00	110.90
Cr	7.30	93.20	308.90	80.51	11.30
V	236.90	443.10	470.60	323.20	1364.60
Nb	22.00	12.30	11.40	14.93	12.00
Ta	1.75	1.10	1.05	0.85	0.78
Zr	192.00	116.00	109.00	154.30	109.50
Hf	6.60	4.10	3.90	3.44	2.75
Th	4.54	3.86	2.62	2.47	9.90
U	1.05	0.86	0.56	0.78	0.66
Cs	3.31	1.84	2.54	2.06	0.69
Li	38.90	43.60	19.20	23.71	16.80
Zr/TiO ₂	51.752	60.104	64.118	79.536	25.524
Nb/Y	0.544	0.475	0.439	0.375	0.374
Zr/Y	4.747	4.475	4.202	3.871	3.413
Ta/Hf	0.265	0.268	0.269	0.247	0.284
Th/Hf	0.688	0.941	0.672	0.718	3.600
Th/Zr	0.024	0.033	0.024	0.016	0.090
Nd/Zr	0.139	0.166	0.162	0.195	0.177

注:数据由河北省地矿局廊坊实验室于2011年测试。

山地区辉绿岩属于大陆拉斑玄武岩系列岩石,形成于华北陆块北部的板内环境。

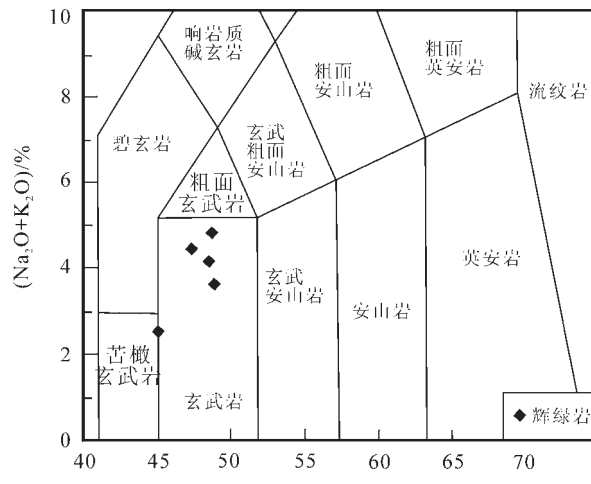


Fig.3 TAS classification diagram for Mesoproterozoic diabase from Yanshan Mountain area
(base diagram after reference [11])

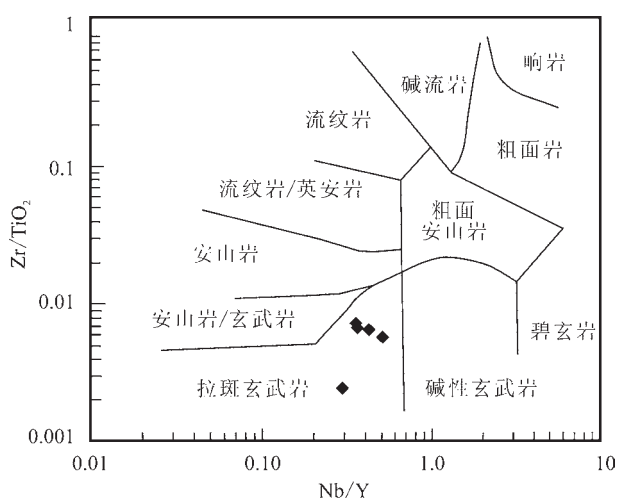


Fig.4 Nb/Y-Zr/TiO₂ plot for Mesoproterozoic diabase from Yanshan Mountain area
(base diagram after reference [12])

2.2 微量元素特征

微量元素组成特征与其形成的地质、物理化学环境有关,其含量与比值对确定成岩成矿物质来源具有十分重要的指示意义^[15]。研究区辉绿岩样品稀土元素地球化学分析结果(表1)显示,稀土总量 Σ REE较高($87.92 \times 10^{-6} \sim 141.06 \times 10^{-6}$); Σ LREE/ Σ HREE变化不大,为3.321~4.349;在球粒陨石标准化图解上(图

6), 样品表现出比较一致的右倾型配分模式, 轻稀土富集, 轻重稀土分馏不明显, $(\text{La}/\text{Sm})_{\text{N}}=1.717\sim1.962$, $(\text{Gd}/\text{Yb})_{\text{N}}=1.066\sim1.203$; 无明显 Ce 负异常, $\delta\text{Ce}=0.868\sim0.950$; Eu 正异常亦不明显, $\delta\text{Eu}=1.010\sim1.177$ 。REE-La/Yb 图解上^[16]样品点绝大多数落于大陆拉斑玄武岩区域内(图 7)。

高场强元素 Zr、Hf、Nb、Ta 在蚀变和变质作用过程中具有良好的稳定性, 是岩石成因和源区性质的良好示踪剂。研究区辉绿岩 Zr、Hf 丰度变化分别为 $109\times10^{-6}\sim192\times10^{-6}$ (平均 136.16×10^{-6}) 和 $2.75\times10^{-6}\sim6.6\times10^{-6}$ (平均 4.16×10^{-6}), 相当于板内拉斑玄武岩和碱性玄武岩的 Zr($149\times10^{-6}\sim213\times10^{-6}$)、Hf

($3.44\times10^{-6}\sim6.36\times10^{-6}$), 高于 MORB 玄武岩的 Zr($90\times10^{-6}\sim96\times10^{-6}$)、Hf($2.4\times10^{-6}\sim2.93\times10^{-6}$), 明显高于火山弧拉斑玄武岩、钙碱性玄武岩和钾玄岩的 Zr($40\times10^{-6}、71\times10^{-6}$ 和 87×10^{-6})、Hf($1.17\times10^{-6}、2.23\times10^{-6}$ 和 2.24×10^{-6})^[36]。本区辉绿岩 Nb($11.4\times10^{-6}\sim22\times10^{-6}$, 平均 14.53×10^{-6})、Ta($0.78\times10^{-6}\sim1.75\times10^{-6}$, 平均 1.11×10^{-6}) 的丰度值接近于板内拉斑玄武岩和碱性玄武岩的 Nb、Ta 丰度(分别变化在 $13\times10^{-6}\sim84\times10^{-6}$ 和 $0.73\times10^{-6}\sim5.9\times10^{-6}$)^[36]。原始地幔标准化图解(图 8)显示高场强元素和稀土元素的丰度都高于 N-MORB。

3 讨 论

3.1 辉绿岩成因

基性岩墙(床)群作为深源岩浆浅侵位的构造岩浆活动, 是基性岩浆快速侵位到先存裂隙内的产物。其所含受后期蚀变影响较小的高场强元素(HFSE) Ti、Zr、Y、Nb、Ta、Hf 和稀土元素(REE)等不活泼元素的地球化学特征基本上反映了岩浆源区性质。

综上分析, 华北陆块北部燕山地区辉绿岩ΣREE 总量较高, LREE 明显富集, 轻重稀土分馏不明显。配分曲线右倾, 无明显 Eu 异常, 其特征反映辉绿岩岩浆起源相对比较深, 可能源自幔源岩浆(图

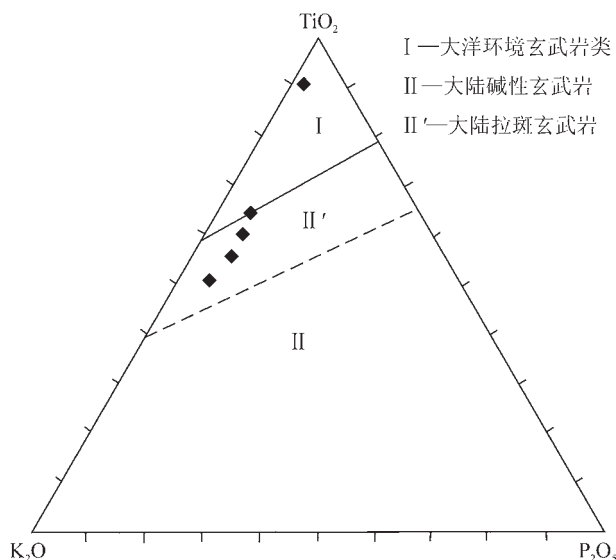


图 5 辉绿岩 KTP 图解(底图据文献[13-14])

Fig.5 KTP diagram for Mesoproterozoic diabase from Yanshan Mountain area (base diagram after reference [13-14])

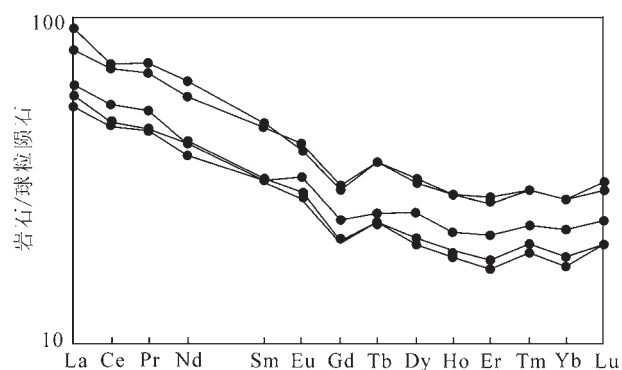


图 6 辉绿岩 REE 配分模式图
Fig.6 Chondrite-normalized REE patterns of Mesoproterozoic diabase

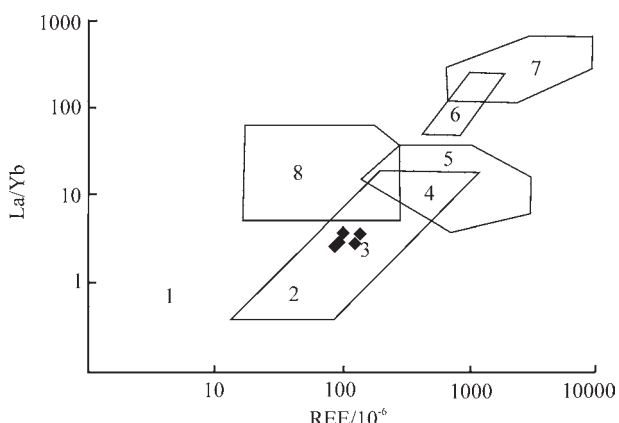


图 7 辉绿岩 La/Yb-REE 关系图解(据文献[16])
1—球粒陨石; 2—大洋拉斑玄武岩; 3—大陆拉斑玄武岩; 4—碱性玄武岩; 5—花岗岩; 6—金伯利岩; 7—碳酸盐岩; 8—沉积岩

Fig.7 La/Yb-REE diagram of Mesoproterozoic diabase (after reference [16])

1-Chondrite; 2-Oceanic tholeiite; 3-Continental tholeiite; 4-Alkali basalt; 5-Granite; 6-Kimberlite; 7-Carbonate rock; 8-Sedimentary rock

6)。高场强元素 Zr、Hf 明显高于火山弧拉斑玄武岩, 相近于板内拉斑玄武岩; Nb、Ta 明显高于岛弧拉斑玄武岩 Nb、Ta, 相似于板内拉斑玄武岩^[10]。Zr-Y、Zr-Nb 图解^[17]亦显示岩浆来源于过渡性地幔(图 9)。综合主微量元素特征, 表明该辉绿岩的岩浆来自于大陆板内过渡性地幔区。

3.2 构造背景

元古宙基性辉绿岩墙(床)群作为一种特殊的构造-岩浆地质体, 对全球超大陆的演化起到了很好的标志作用, 承载了极为重要的热-构造事件信息, 受到地学界广泛关注^[18-26]。尤其是中元古代一系列火山岩夹层及侵入体高精度测年数据的获取, 重新厘定了中新元古界年代地层柱^[27], 为超大陆裂解汇聚演化进程的研究提供了重要的科学依据。陆松年等^[9]总结华北陆块在中元古代出现了三幕热构造事

件群, 这三幕与裂解有关的热-构造事件群间接指示了 Columbia 超大陆裂解过程中在华北陆块的响应。而发生于 1350~1320 Ma 的北陆块北部的基性岩墙侵入事件, 与北美花岗岩-流纹岩地体晚期岩浆事件^[28]时限上相当, 稍早于北美西北部的 Mackenzie 基性岩墙群^[24]的形成时代。因此研究该基性岩(床)形成时的构造背景, 对进一步探讨华北陆块与其他古大陆之间的亲缘关系, 以及重塑当时华北陆块在超大陆中所处位置都将起到积极作用。

燕山地区辉绿岩样品在微量元素 Zr/Y-Zr^[10]和 Ti/100-Zr-Y×3 图解^[29]中, 基本上落于板内玄武岩区(图 10), 主量元素 K₂O-TiO₂-P₂O₅ 图解亦显示该辉绿岩为形成于板内环境下的大陆拉斑玄武岩。应用 Ta/Hf-Th/Hf 及 Nb/Zr-Th/Zr 图解(图 11)样品投点基本上位于大陆板内拉张环境。综合主、微量元素特征, 表明研究区辉绿岩形成中元古代晚期华北陆块内部的板内拉张背景。

燕山地区辉绿岩(床)作为中元古代晚期华北陆块北部板内裂解事件的产物, 与华北陆块北缘白云鄂博-渣尔泰拗拉槽、陆块东南缘徐淮拗拉槽、陆块内部的晋北、鲁西地区以及全球其他古大陆同期热-构造事件^[25,26,28,31-35]存在一定可比性, 因此可能是中元古代晚期 Columbia 超大陆逐步裂解过程中在华北陆块上的响应。

4 结 论

(1) 燕山地区中元古代辉绿岩主微量元素地球化学特征显示其属于大陆拉斑玄武岩系列。

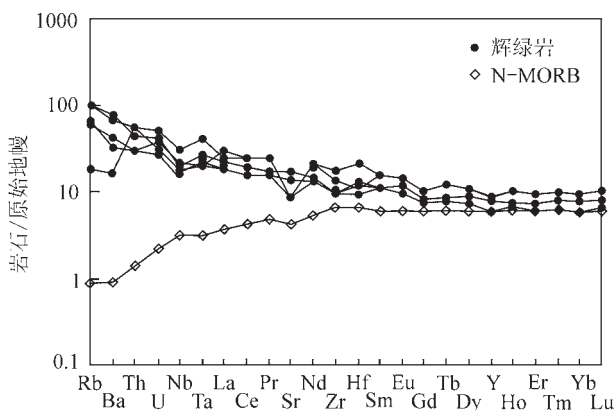


图 8 辉绿岩原始地幔标准化的微量元素配分图

Fig.8 Primitive mantle normalized incompatible element spidergram for diabase-dykes

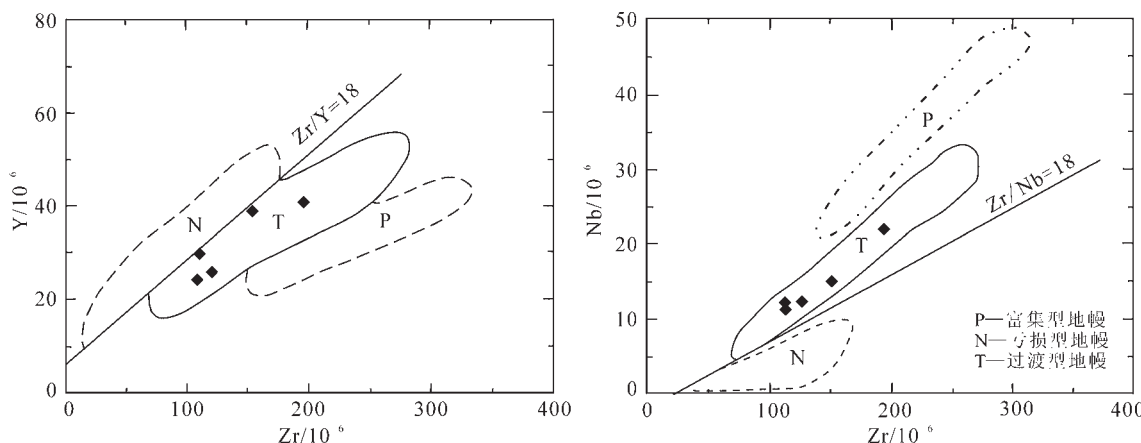


图 9 辉绿岩的 Zr-Y 图解和 Zr-Nb 图解(底图据文献[17])

Fig.9 Zr-Y and Zr-Nb classification diagram for Mesoproterozoic diabase from Yanshan Mountain area
(base diagram after reference [17])

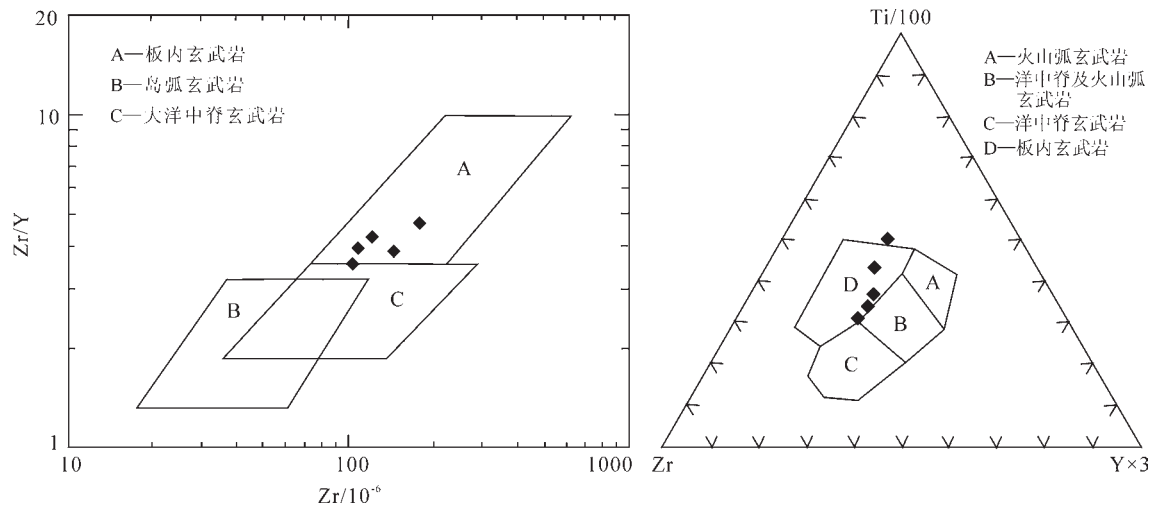


图10 辉绿岩的Zr/Y-Zr及Ti/100-Zr-Y \times 3图解(底图据文献[10,29])
Fig.10 Zr/Y-Zr and Ti/100-Zr-Y \times 3 classification diagram for Mesoproterozoic diabase
(base diagram after reference [10,29])

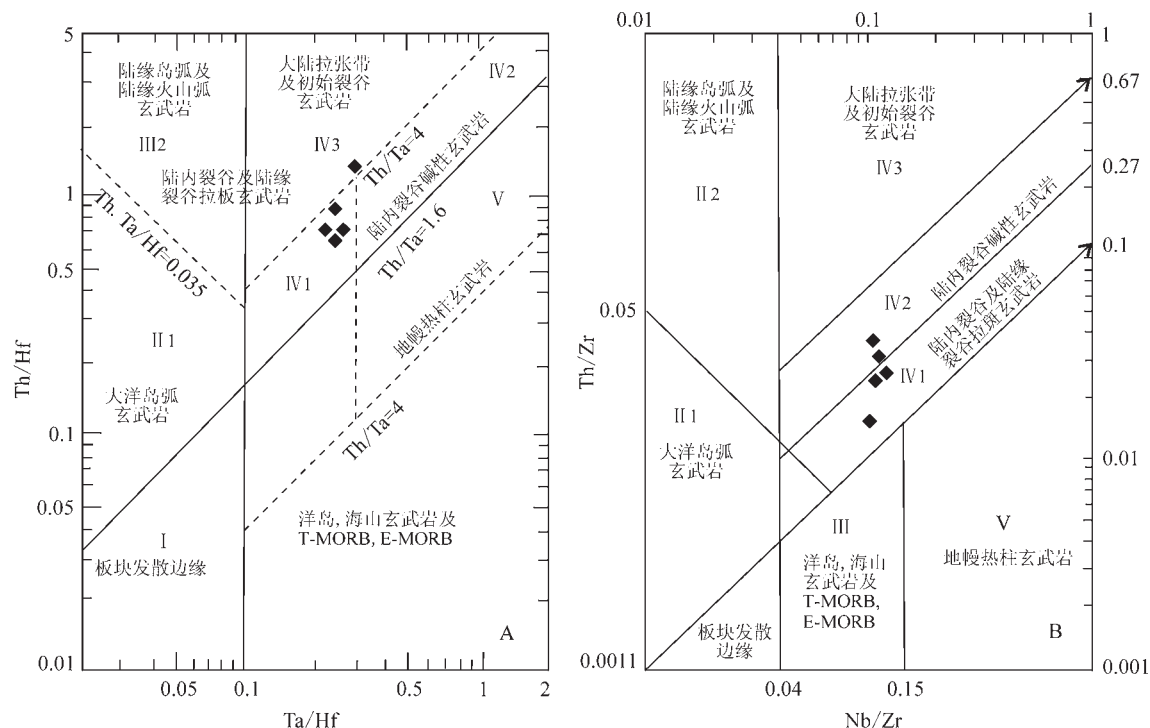


图11 辉绿岩的Ta/Hf—Th/Hf及Nb/Zr—Th/Zr图解(底图据文献[30,31])
Fig.11 Ta/Hf—Th/Hf and Nb/Zr—Th/Zr classification diagram for Mesoproterozoic diabase
(base diagram after reference [30, 31])

(2)辉绿岩稀土元素特征指示其可能来源于幔源岩浆。综合高场强元素特征分析认为该辉绿岩的岩浆来自于大陆板内过渡性地幔区。

(3)微量元素Ta/Hf—Th/Hf及Nb/Zr—Th/Zr图解

及主量元素K₂O—TiO₂—P₂O₅图解显示该辉绿岩形成的构造背景为板内拉张环境。此次华北陆块北部板内裂解事件可能是中元古代末Columbia超大陆裂解过程在华北陆块上的响应。

参考文献(References):

- [1] 高林志, 张传恒, 史晓颖, 等. 华北青白口系下马岭组凝灰岩锆石 SHRIMP U-Pb 定年[J]. 地质通报, 2007, 26(3): 249–255.
Gao Linzhi, Zhang Chuanheng, Shi Xiaoying, et al. SHRIMP U-Pb dating of the tuff bed in the Xiamaling Formation of Qingbaikou Group in North China[J]. Geological Bulletin of China, 2007, 26(3): 249–255(in Chinese with English abstract).
- [2] Su Wenbo, Zhang Shihong, Huff W D, et al. SHRIMP U-Pb ages of K-bentonite beds in the Xiamaling Formation: Implications for revised subdivision of the Meso-to Neoproterozoic history of the North China Craton[J]. Gondwana Research, 2008, 14: 543–553.
- [3] Gao Linzhi, Zhang Chuanheng, Shi Xiaoying, et al. Mesoproterozoic age for Xiamaling Formation in North China Plate indicated by zircon SHRIMP dating [J]. Chinese Science Bulletin, 2008, 53(17): 2665–2671.
- [4] 李怀坤, 陆松年, 李惠民, 等. 侵入下马岭组的基性岩床的锆石和斜锆石 U-Pb 精确定年——对华北中元古界地层划分方案的制约[J]. 地质通报, 2009, 28(10): 1396–1404.
Li Huaikun, Lu Songnian, Li Huimin, et al. Zircon and heddeleyite U-Pb precision dating of basic rock sills intruding Xiamaling Formation, North China[J]. Geological Bulletin of China, 2009, 28(10): 1396–1404(in Chinese with English abstract).
- [5] 苏文博, 李怀坤, Warren D. Huff, 等. 铁岭组钾质斑脱岩锆石 SHRIMP U-Pb 年代学研究及其地质意义[J]. 科学通报, 2010, 2010, 55(22): 2197–2206.
Su Wenbo, Li Huaikun, Warren D. Huff, et al. Zircon SHRIMP U-Pb ages of tuff in the Tieling Formation and their geological significance[J]. Chinese Science Bulletin, 2010, 55(22): 2197–2206 (in Chinese with English abstract).
- [6] 陈晋镳, 张惠民, 朱世兴, 等. 蓟县震旦亚界的研究[C]//王曰伦主编. 中国震旦亚界研究. 天津: 天津科学技术出版社, 1980: 56–114.
Chen Jinbiao, Zhang Huiming, Zhu Shixing, et al. Research on Sinian Suberatherm of Jixian, Tianjin [C]//Wang Yuelun(ed.). Research on Precambrian Geology. Tianjin: Tianjin Science and Technology Press, 1980: 56–114(in Chinese).
- [7] 邢裕盛, 高振家, 王自强, 等. 新元古界, 中国地层典[M]. 北京: 地质出版社, 1996: 1–117.
Xing Yusheng, Gao Zhenjia, Wang Ziqiang, et al. Stratigraphic Lexicon of China——Neoproterozoic[M]. Beijing: Geological Publishing House, 1989: 1–314(in Chinese).
- [8] 乔秀夫. 青白口系地层学研究[J]. 地质科学, 1976, (4): 246–265.
Qiao Xiufu. Investigation on stratigraphy of the Qingbaikou Group of the Yanshan mountains, North China[J]. Scientia Geologica Sinica, 1976, (4): 246–265(in Chinese).
- [9] 陆松年, 李怀坤, 相振群. 中国中元古代同位素地质年代学研究进展述评[J]. 中国地质, 2010, 37(4): 1002–1013.
Lu Songnian, Li Huaikun, Xiang Zhenqun. Advances in the study of Mesoproterozoic geochronology in China: A review[J]. Geology in China, 2010, 37(4): 1002–1013(in Chinese with English abstract).
- [10] Pearce JA. Trace element characteristics of lavas from destructive plate boundaries[C]//Thorp R S(ed.). Andesites. New York: John Wiley and Sons, 1982: 525–548.
- [11] Le Maitre RW, Bateman P, Dudek A, et al. A classification of igneous rock and a glossary of term[C]//Recommendations of the IGUS sub-commission on the System of Igneous Rocks. Oxford: Blackwell, 1989.
- [12] Winchester J A, Floyd P A. Geochemical discrimination of different magma series and their differentiation products[J]. Chem. Geol., 1977, 20: 325–343.
- [13] Pearce T H, Gorman B E, Birkell T C. The $TiO_2-K_2O-P_2O_5$ diagram: A method of discriminating between oceanic and non-oceanic basalts[J]. Earth Planet. Sci. Lett., 1975, 24: 419–426.
- [14] 从柏林, 张儒缓. 华北断块区新生代玄武岩系及其形成的大地构造环境[J]. 地质论评, 1983, 29(1): 40–49.
Cong Bolin, Zhang Ruyuan. Cenozoic basaltic rock series in North China and their bearing on tectonic setting[J]. Geological Review, 1983, 29(1): 40–49(in Chinese with English abstract).
- [15] 周家云, 郑荣才, 朱志敏, 等. 拉拉铜矿黄铁矿微量元素地球化学特征及其成因意义[J]. 矿物岩石, 2008, 28(3): 64–71.
Zhou Jiayun, Zheng Rongcui, Zhu Zhimin, et al. Trace element features of pyrite and their genetic significance in Lala gold deposit[J]. Journal of Mineralogy and Petrology, 2008, 28(3): 64–71(in Chinese with English abstract).
- [16] Allegre C J, Minster J F. Quantitative models of trace element behavior in magmatic processes[J]. Earth and Planetary Science Letters, 1978, 38: 1–25.
- [17] Le Roex A P, Dick H J, Reid A M, et al. Geochemistry, mineralogy and petrogenesis of lavas erupted along the southwest Indian Ridge between the Bouvet triple junction and 11 degrees east[J]. Petrol., 1983, 24: 267–318.
- [18] Bogdanova S V, Bingen B, Gorbarshev R, et al. The East European Craton (Baltica) before and during the assembly of Rodinia[J]. Precambrian Research, 2008: 160: 23–45.
- [19] 陆松年, 杨春亮, 李怀坤, 等. 华北古大陆与哥伦比亚超大陆[J]. 地学前缘, 2002, 9(4): 225–233.
Lu Songnian, Yang Chunliang, Li Huaikun et al. North China continent and Columbia supercontinent [J]. Earth Science Frontier, 2002, 9(4): 225–233(in Chinese with English abstract).
- [20] 侯贵廷, 李江海, 刘玉琳, 等. 华北克拉通古元古代末的伸展事件: 拘拉谷与岩墙群[J]. 自然科学进展, 2005, 15(11): 1366–1373.
Hou Guiting, Li Jianghai, Liu Yulin, et al. Extensive events of the terminal paleoproterozoic in North China Craton: Aulacogen and Dyke swarms[J]. Advance of Nature Science, 2005, 15(11): 1366–1373(in Chinese with English abstract).

- [21] Zhang Shuanhong, Zhao Yue, Yang Zhenyu, et al. [21] Zhang Shuanhong, Zhao Yue, Yang Zhenyu, et al. The 1.35 Ga diabase sills from the northern North China Craton: Implications for breakup of the Columbia (Nuna) supercontinent[J]. *Earth and Planetary Science Letters*, 2009, 288: 588–600.
- [22] Ernst R E, Wingate M T D, Buchan K L, et al. Global record of 1600–700 Ma Large Igneous Provinces(LIPs): Implications for the reconstruction of the proposed Nuna(Columbia)and Rodinia supercontinents[J]. *Precambrian Research*, 2008, 160: 159–178.
- [23] Robin A. Mackiea, James S. Scoatesa, Dominique Weis Age and Nd—Hf isotopic constraints on the origin of marginal rocks from the Muskox layered intrusion(Nunavut, Canada)and implications for the evolution of the 1.27 Ga Mackenzie large igneous province[J]. *Precambrian Research*, 2009, 172: 46–66.
- [24] Lecheminant A N, Heaman L M. Mackenzie igneous events, Canada: Middle Proterozoic hotspot magmatism associated with ocean opening[J]. *Earth Planet Sci. Lett.*, 1989, 69: 169–191.
- [25] 侯贵廷, 李江海, 金爱文, 等. 鲁西前寒武纪基性岩墙群[J]. *地质学报*, 2005, 79: 190–200.
Hou Guiting, Li Jianghai, Jin Aiwen, et al. The Precambrian basic dyke swarms in the Western Shandong Province[J]. *Acta Geologica Sinica*, 2005, 79: 190–200(in Chinese with English abstract).
- [26] 王清海, 杨德彬, 许文良. 华北陆块东南缘新元古代基性岩浆活动: 徐淮地区辉绿岩床群岩石地球化学、年代学和Hf同位素证据[J]. *中国科学(D辑)*, 2011, 41(6): 796–815
Wang Qinghai, Yang Debin, Xu Wenliang. Neoproterozoic basic magmatism in the southeast margin of North China Craton: Evidence from whole-rock geochemistry, U–Pb and Hf isotopic study of zircon from diabase swarm in the Xuzhou–Huabei area[J]. *Science in China(D)*, 2011, 41(6): 796–815(in Chinese).
- [27] 乔秀夫, 高林志, 张传恒. 中朝板块中新元古界年代地层柱与构造环境新思考[J]. *地质通报*, 2007, 26(5): 503–509.
Qiao Xiufu, Gao Linzhi, Zhang Chuanheng. New idea of the Meso and Neoproterozoic chronostratigraphic chart and tectonic environment in Sino–Korean Plate[J]. *Geological Bulletin of China*, 2007, 26(5): 503–509(in Chinese with English abstract).
- [28] Davidson A. Late Paleoproterozoic to mid–Neoproterozoic history of northern Laurentia: An overview of central Rodinia[J]. *Precambrian Research*, 2008, 160: 5–22.
- [29] Pearce J A, Cann J R. Tectonic setting of basic volcanic rocks determined using trace element analysis[J]. *Earth Planet. Sci. Lett.*, 1973, 12: 290–300.
- [30] 汪云亮, 张成江, 修淑芝. 玄武岩类形成的大地构造环境的Th/Hf—Ta/Hf图解判别[J]. *岩石学报*, 2001, 17(3): 413–421.
Wang Yunliang, Zhang Chengjiang, Xiu Shuzhi. Th/Hf– Ta/Hf identification of tectonic setting of basalts[J]. *Acta Petrological Sinica*, 2001, 17(3): 413–421(in Chinese with English abstract).
- [31] 孙书勤, 汪云亮, 张成江. 玄武岩类岩石大地构造环境的Th、Nb、Zr判别[J]. *地质论评*, 2003, 49(1): 40–47.
Sun Shuqin, Wang Yunliang, Zhang Chengjiang. Discrimination of the tectonic setting of basalts by Th, Nb and Zr[J]. *Geological Review*, 2003, 49(1): 40–47(in Chinese with English abstract).
- [32] 任英忱, 张英臣, 张宗清. 白云鄂博稀土超大型矿床的成矿时代及其主要地质热事件[J]. *地球学报*, 1994, (1/2): 95–100.
Ren Yingchen, Zhang Yingchen, Zhang Zongqing. Study on thermal events of ore-forming Bayan Obo deposit[J]. *Acta Geoscientia Sinica*, 1994, (1/2): 95–100(in Chinese with English abstract).
- [33] 张宗清, 唐索寒, 王进辉, 等. 白云鄂博稀土矿床形成年龄的新数据[J]. *地球学报*, 1994, (1/2): 85–94.
Zhang Zongqing, Tang Suohan, Wang Jinhui, et al. New data for ore-forming age of the Bayan Obo REE ore deposit, Inner Mongolia[J]. *Acta Geoscientia Sinica*, 1994, (1/2): 85–93(in Chinese with English abstract).
- [34] 侯贵廷, 李江海, 钱祥麟. 晋北地区中元古代岩墙群的地球化学特征和大地构造背景[J]. *岩石学报*, 2001, 17(3): 352–357.
Hou Guiting, Li Jianghai, Qian Xianglin. Geochemical characteristics and tectonic setting of Mesoproterozoic dykeswars in northern Shanxi[J]. *Acta Petrologica Sinica*, 2001, 17(3): 352–357(in Chinese with English abstract).
- [35] 邵济安, 张履桥, 李大明. 华北克拉通元古代的三次伸展事件[J]. *岩石学报*, 2002, 18(2): 152–160.
Shao Jian, Zhang Lvqiao, Li Daming. Three Proterozoic extensional events in North China craton[J]. *Acta Petrological Sinica*, 2002, 18(2): 152–160(in Chinese with English abstract).

Geochemistry of the Mesoproterozoic diabase sills from Yanshan Mountain area in the northern part of North China Plate

ZHANG Yun-qiang, CHEN Hai-yan, LI Xian, WEI Wen-tong, ZHANG Zhen-li,
XU Hong-cai, LIU Zeng-xiao, PENG Qian-peng

(Hebei Institute of Regional Geological and Mineral Resource Survey, Langfang 065000, Hebei, China)

Abstract: The intrusion of diabase sills in the shales of the Xiamaling Formation is extensively developed in Yanshan Mountain area of the northern part of North China Plate. Geochemistry of the diabase is characterized by high content of TiO_2 (1.70%~4.29%), low content of Al_2O_3 (11.33%~14.98%), MgO (4.17%~5.86%)and $Na_2O > K_2O$. In the $K_2O-TiO_2-P_2O_5$ plot, all sample points almost fall into the field of continental tholeiite. REE study indicates that the diabase is enriched in light rare earth elements with abundant rare earth elements, and the fractionation between LREE and HREE is not pronounced. Meanwhile, the chondrite-normalized distribution curve is right-oblique without obvious depletion of Eu. All these characteristics in combination with the $Zr-Y$, $Zr-Nd$, $Zr/Y-Zr$, $Ti/100-Zr-Y \times 3$, $Ta/Hf-Th/Hf$ and $Nd/Zr-Th/Zr$ diagrams indicate that the magma was derived from the transitional mantle, and the diabase was formed in an intra-continent extension setting of North China Plate during the late Mesoproterozoic.

Key words: diabase; geochemistry; Mesoproterozoic; North China Plate; Yanshan Mountain area

About the first author: ZHANG Yun-qiang, male, born in 1982, master, mainly engages in the study of genetic and prospecting mineralogy; E-mail: zhyqok@163.com.